

# Approche numérique du comportement viscoélastique dans un environnement variable

RANDRIAMBOLOLONA Hery - DUBOIS Frédéric - PETIT Christophe

**Laboratoire de Mécanique et Modélisation des Matériaux et Structures du Génie Civil**  
**IUT d'Egletons - Université de LIMOGES**

# Comportement viscoélastique dépendant de l'environnement

1

- Comportement viscoélastique non vieillissant

- Les caractéristiques mécaniques du matériau sont constantes

- Formulation de Boltzmann

$$\varepsilon(t) = \int_{0+}^t J(t, \tau) \frac{\partial \sigma(\tau)}{\partial \tau} d\tau + \sum_{q=1}^N J(t, t_q) \Delta \sigma^{(q)}$$

- Dépendance des caractéristiques mécaniques avec l'environnement

- Température, Humidité

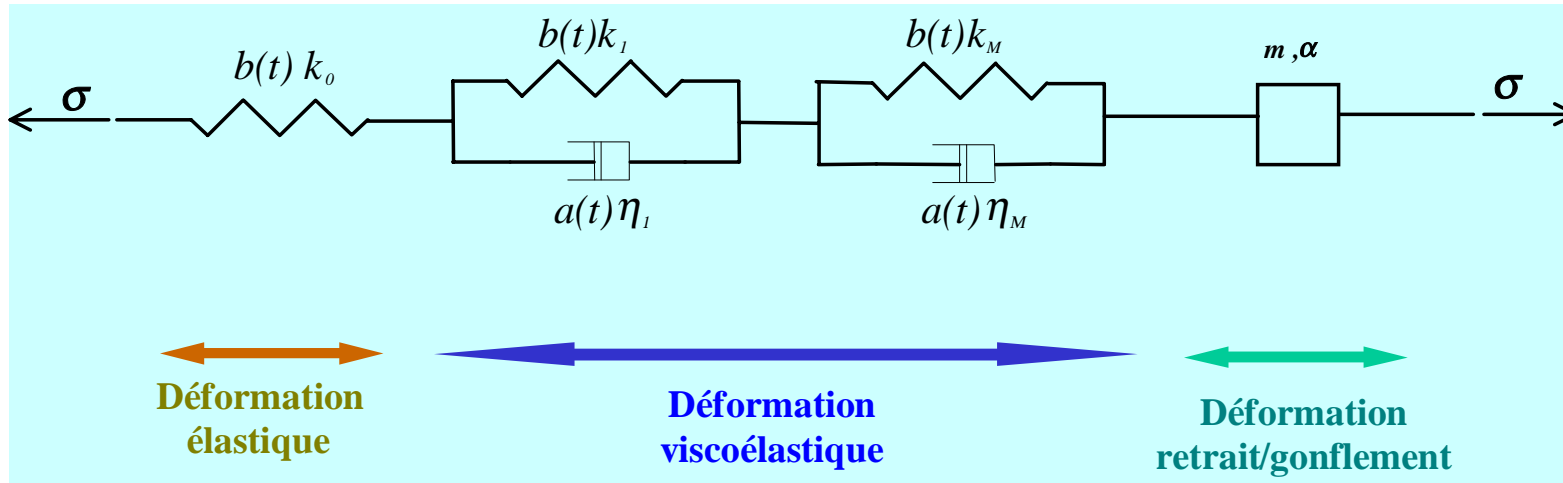
- Prise en compte du vieillissement du matériau

- Gain de rigidité

- Perte de rigidité

# Approche rhéologique

➔ **Modèle rhéologique :**  
(Kelvin Voigt généralisé + ressort + retrait/gonflement en série)



➔ **Partition des déformations**

$$\varepsilon(t) = \varepsilon_0(t) + \sum_{m=1}^M \varepsilon^{(m)}(t) + \varepsilon_\alpha(t)$$

➔ **Evolution des caractéristiques des ressorts et des amortisseurs en fonction des caractéristiques de l'environnement**

$b(w(t), T(t))$  : translation horizontale

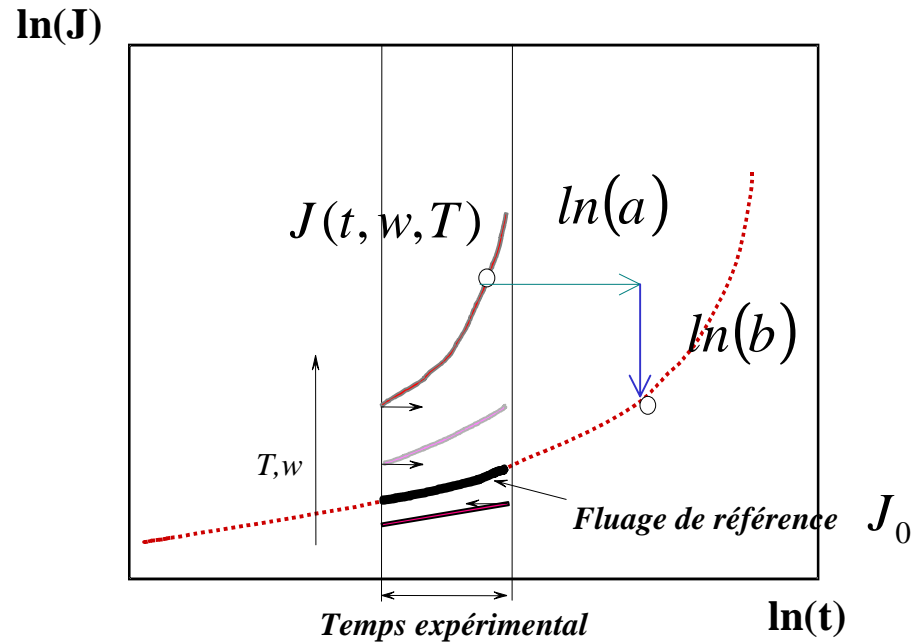
$a(w(t), T(t))$  : translation verticale

- Les translations a(t) et b(t) génèrent le temps réduit :

$$\Phi = \int_0^t \frac{b(\tau)}{a(\tau)} d\tau$$

- Equivalence temps-température-humidité

→ **Courbe de maitresse de fluage**



$$J(t, w, T) = b \cdot J_0\left(\frac{t}{a}\right)$$

- Formulation de Boltzmann

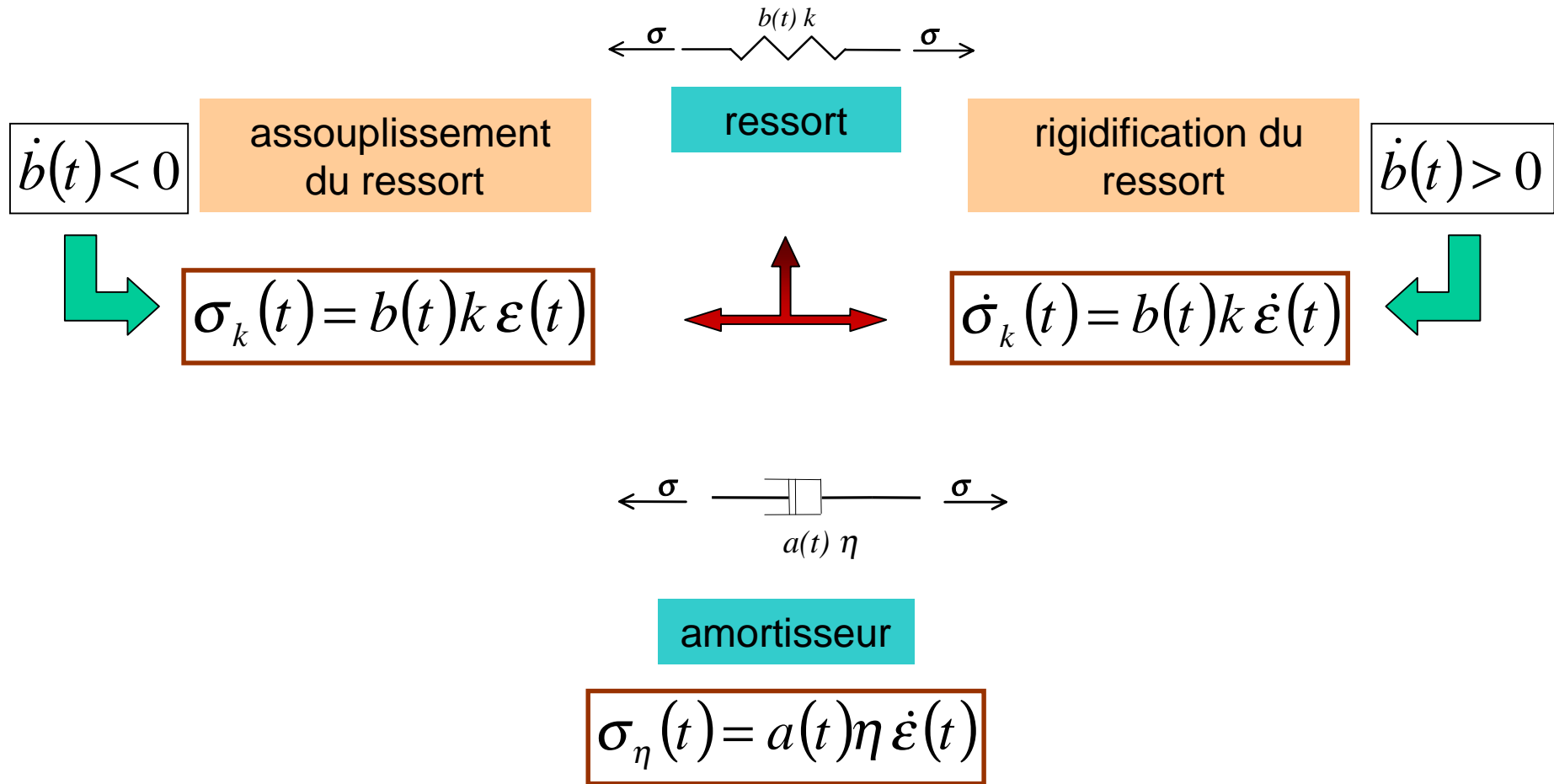
$$\Phi - \Phi' = \int_{\tau}^t \frac{b(\alpha)}{a(\alpha)} d\alpha$$

$$\varepsilon(\Phi) = \int_{0^+}^{\Phi} J(\Phi, \Phi') \frac{\partial \sigma(\Phi')}{\partial \Phi'} d\Phi' + \sum_{q=1}^N J(\Phi, \Phi_q) \Delta \sigma^{(q)}$$

# Approche thermodynamique

● Comportement des éléments rhéologiques

➡ Respect du 1er principe de la thermodynamique (Bazant)



# Equation différentielle

→ Pour 1 élément de Kelvin Voigt

● Assouplissement du ressort dans le temps

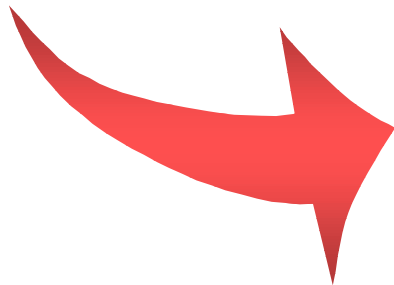
$$\frac{d\varepsilon^{(m)}(t)}{dt} + \frac{\lambda^{(m)}}{a(t)} \varepsilon^{(m)}(t) = \frac{\sigma(t)}{\eta^{(m)}a(t)}$$

● Rigidification du ressort dans le temps

$$\frac{d^2\varepsilon^{(m)}(t)}{dt^2} + \left( \frac{b(t)}{a(t)} \lambda^{(m)} + \frac{1}{a(t)} \frac{da(t)}{dt} \right) \frac{d\varepsilon^{(m)}(t)}{dt} = \frac{1}{\eta^{(m)}a(t)} \frac{d\sigma(t)}{dt}$$

→ Pour 1 élément de retrait gonflement

$$\frac{d\varepsilon_{\alpha}(t)}{dt} = [\alpha + m \cdot \sigma(t)] \cdot \frac{dw(t)}{dt}$$



**RESOLUTION DES EQUATIONS  
DIFFERENTIELLES DANS L'ESPACE  
TEMPS REDUIT**



$\varepsilon(\Phi)$

# Loi de comportement

## ➡ Formulation 1D

### ● Viscoélasticité adoucissant

$$\varepsilon(\Phi) = \int_{0+}^{\Phi} J(\Phi, \Phi') \frac{\partial Q(\Phi')}{\partial \Phi'} d\Phi' + \sum_{q=1}^N J(\Phi, \Phi_q) \Delta Q(\Phi_q)$$

$$J(\Phi, \Phi') = \frac{1}{k^{(0)}} + \sum_{m=1}^M \frac{1}{k^{(m)}} \left(1 - e^{-\lambda^{(m)}(\Phi - \Phi')}\right) \quad Q(\Phi) = \frac{\sigma(\Phi)}{b(\Phi)}$$

### ● Viscoélasticité rigidifiant

$$\varepsilon(\Phi) = \int_{0+}^{\Phi} J(\Phi, \Phi') \frac{\partial \sigma(\Phi')}{\partial \Phi'} d\Phi' + \sum_{q=1}^N J(\Phi, \Phi_q) \Delta \sigma(\Phi_q)$$

$$J(\Phi, \Phi') = \frac{1}{b(\Phi')k^{(0)}} + \sum_{m=1}^M \int_{\Phi'}^{\Phi} \frac{e^{-\lambda^{(m)}(\Phi'' - \Phi')}}{\eta^{(m)}b(\Phi'')} d\Phi'' \quad \Phi'' - \Phi' = \int_{\tau}^{\beta} \frac{b(\alpha)}{a(\alpha)} d\alpha$$

## ➡ Formulation 3D

### ● Viscoélasticité adoucissant

$$\underline{\underline{\varepsilon}}(\Phi) = \int_{0+}^{\Phi} \underline{\underline{J}}(\Phi, \Phi') \frac{\partial \underline{\underline{Q}}(\Phi')}{\partial \Phi'} d\Phi' + \sum_{q=1}^N \underline{\underline{J}}(\Phi, \Phi_q) \underline{\underline{\Delta Q}}(\Phi_q)$$

$$J_{ijkl}(\Phi, \Phi') = \frac{1}{k_{ijkl}^{(0)}} + \sum_{m=1}^M \frac{1}{k_{ijkl}^{(m)}} \left( 1 - e^{-\lambda_{ijkl}^{(m)}(\Phi - \Phi')} \right)$$

### ● Viscoélasticité rigidifiant

$$\underline{\underline{\varepsilon}}(\Phi) = \int_{0+}^{\Phi} \underline{\underline{J}}(\Phi, \Phi') \frac{\partial \underline{\underline{\sigma}}(\Phi')}{\partial \Phi'} d\Phi' + \sum_{q=1}^N \underline{\underline{J}}(\Phi, \Phi_q) \underline{\underline{\Delta \sigma}}(\Phi_q)$$

$$J_{ijkl}(\Phi, \Phi') = \frac{1}{b(\Phi') k_{ijkl}^{(0)}} + \sum_{m=1}^M \int_{\Phi'}^{\Phi} \frac{e^{-\lambda^{(m)}(\Phi'' - \Phi')}}{\eta_{ijkl}^{(m)} b(\Phi'')} d\Phi''$$



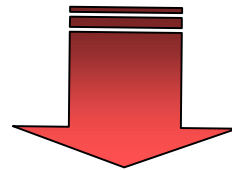
# Formulation incrémentale

- Discrétisation du comportement rhéologique par différence finie

$$\Delta\varepsilon(\Phi_n) = \varepsilon(\Phi_n) - \varepsilon(\Phi_{n-1}) \Rightarrow \Delta\varepsilon(\Phi_n) = \Delta\varepsilon_0(\Phi_n) + \sum_{m=1}^M \Delta\varepsilon^{(m)}(\Phi_n) + \Delta\varepsilon_\alpha(\Phi_n)$$

- Linéarité dans l'incrément de temps réduit  $\Phi \in [\Phi_n, \Phi_{n-1}]$

$$\sigma(\Phi) \quad w(\Phi) \quad a(\Phi) \quad c(\Phi) = \frac{1}{b(\Phi)}$$



$$\Delta\varepsilon(\Phi_n) = M^{(n)} \cdot \Delta\sigma(\Phi_n) + \tilde{\varepsilon}(\Phi_{n-1})$$



chargement mécanique



Histoire mécanique

● Viscoélasticité adoucissant

$$\Delta \varepsilon(\Phi_n) = M_{ad}^{(n)} \cdot \Delta \sigma(\Phi_n) + \tilde{\varepsilon}_{ad}(\Phi_{n-1})$$

$$M_{ad}^{(n)} = c(\Phi_{n-1}) \left\{ \frac{1}{k^{(0)}} + \sum_{m=1}^M \left[ \frac{1}{k^{(m)}} \left( 1 - \frac{1}{\lambda^{(m)} \Delta \Phi_n} \left( 1 - e^{-\lambda^{(m)} \Delta \Phi_n} \right) \right) \right] \right\}$$

$$+ \Delta c(\Phi_n) \left\{ \frac{1}{k^{(0)}} + \sum_{m=1}^M \left[ \frac{1}{k^{(m)}} \left( 1 - \frac{2}{\lambda^{(m)} \Delta \Phi_n} \left( 1 - \frac{1}{\lambda^{(m)} \Delta \Phi_n} \left( 1 - e^{-\lambda^{(m)} \Delta \Phi_n} \right) \right) \right) \right] \right\}$$

$$+ \Delta w(\Phi_n) \frac{m}{2}$$

$$\tilde{\varepsilon}_{ad}(\Phi_{n-1}) = \sum_{m=1}^M \left[ \left( e^{-\lambda^{(m)} \Delta \Phi_n} - 1 \right) \varepsilon^{(m)}(\Phi_{n-1}) \right]$$

$$+ \sigma(\Phi_{n-1}) \left\{ c(\Phi_{n-1}) \left[ \sum_{m=1}^M \left[ \frac{1}{k^{(m)}} \left( 1 - e^{-\lambda^{(m)} \Delta \Phi_n} \right) \right] \right] \right\}$$

$$+ \Delta c(\Phi_n) \left\{ \frac{1}{k^{(0)}} + \sum_{m=1}^M \left[ \frac{1}{k^{(m)}} \left( 1 - \frac{1}{\lambda^{(m)} \Delta \Phi_n} \left( 1 - e^{-\lambda^{(m)} \Delta \Phi_n} \right) \right) \right] \right\}$$

$$+ \Delta w(\Phi_n) m$$

$$+ \Delta w(\Phi_n) \alpha$$

● Viscoélasticité rigidifiant

$$\Delta \varepsilon(\Phi_n) = M_{rig}^{(n)} \cdot \Delta \sigma(\Phi_n) + \tilde{\varepsilon}_{rig}(\Phi_{n-1})$$

$$M_{rig}^{(n)} = c(\Phi_{n-1}) \left\{ \frac{1}{k^{(0)}} + \sum_{m=1}^M \left[ \frac{1}{k^{(m)}} \left( 1 - \frac{1}{\lambda^{(m)} \Delta \Phi_n} (1 - e^{-\lambda^{(m)} \Delta \Phi_n}) \right) \right] \right\}$$

$$+ \Delta c(\Phi_n) \left\{ \frac{1}{2k^{(0)}} + \sum_{m=1}^M \left[ \frac{1}{2k^{(m)}} \left( 1 + \frac{2}{\lambda^{(m)} \Delta \Phi_n} \left( e^{-\lambda^{(m)} \Delta \Phi_n} - \frac{1}{\lambda^{(m)} \Delta \Phi_n} (1 - e^{-\lambda^{(m)} \Delta \Phi_n}) \right) \right) \right] \right\}$$

$$+ \Delta w(\Phi_n) \frac{m}{2}$$

$$\tilde{\varepsilon}_{rig}(\Phi_{n-1}) = \sum_{m=1}^M \left[ \varepsilon^{-(m)}(\Phi_{n-1}) \left\{ c(\Phi_{n-1}) (e^{-\lambda^{(m)} \Delta \Phi_n} - 1) + \Delta c(\Phi_n) \left( e^{-\lambda^{(m)} \Delta \Phi_n} - \frac{1}{\lambda^{(m)} \Delta \Phi_n} (1 - e^{-\lambda^{(m)} \Delta \Phi_n}) \right) \right\} \right]$$

$$\left[ \begin{array}{l} c(\Phi_{n-1}) \left\{ \sum_{m=1}^M \left[ \frac{1}{k^{(m)}} (1 - e^{-\lambda^{(m)} \Delta \Phi_n}) \right] \right\} \\ + \sigma(\Phi_{n-1}) \left\{ - \Delta c(\Phi_n) \left\{ \sum_{m=1}^M \left[ \frac{1}{k^{(m)}} \left( e^{-\lambda^{(m)} \Delta \Phi_n} - \frac{1}{\lambda^{(m)} \Delta \Phi_n} (1 - e^{-\lambda^{(m)} \Delta \Phi_n}) \right) \right] \right\} \right\} \\ + \Delta w(\Phi_n) m \end{array} \right]$$

$$+ \Delta w(\Phi_n) \alpha$$

# Résolution par la méthode des éléments finis

- Equation d'équilibre incrémentale

$$\underline{\underline{\Delta \varepsilon}}(\Phi_n) = \underline{\underline{M}}^{(n)} \cdot \underline{\underline{\Delta \sigma}}(\Phi_n) + \underline{\underline{\tilde{\varepsilon}}}(\Phi_{n-1})$$



$$[K_T](\Phi_n)\{\Delta U\}(\Phi_n) = \{\Delta F_{ext}\}(\Phi_n) + \{\Delta F_{vis}\}(\Phi_{n-1})$$

$$\underline{\underline{\Delta \sigma}}(\Phi_n) = \underline{\underline{D}}_n \cdot \underline{\underline{\Delta \varepsilon}}(\Phi_n) + \underline{\underline{\tilde{\sigma}}}(\Phi_{n-1})$$

$$[K_T](\Phi_n) = \int_{\Omega} [B]^T \underline{\underline{D}}_n [B] dV$$

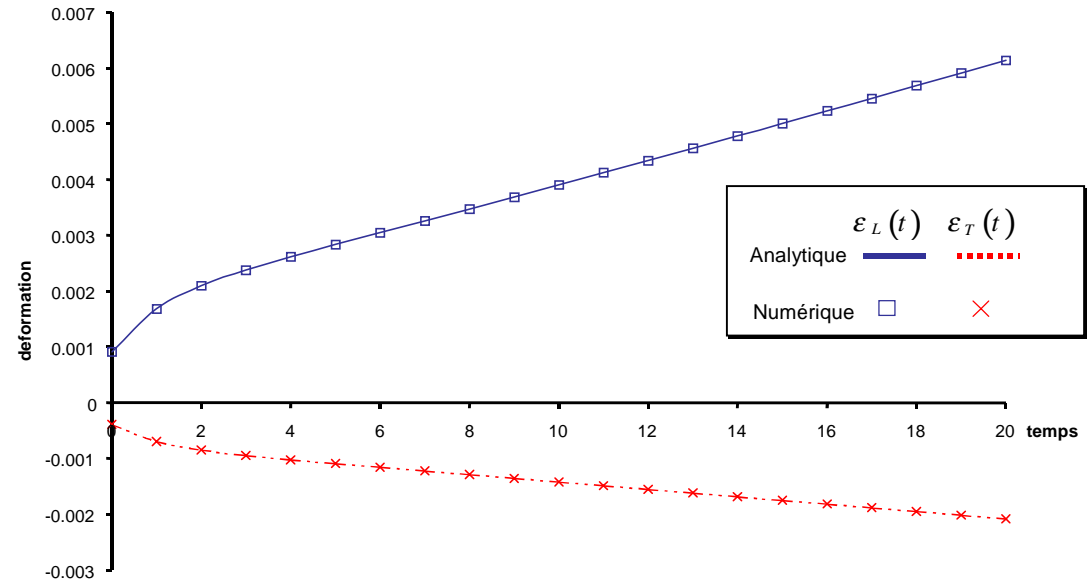
$$\{\Delta F_{vis}\}(\Phi_{n-1}) = \int_{\Omega} [B]^T \{\tilde{\sigma}\}(\Phi_{n-1}) dV$$

Implantation dans CASTEM 2000

# Validation numérique

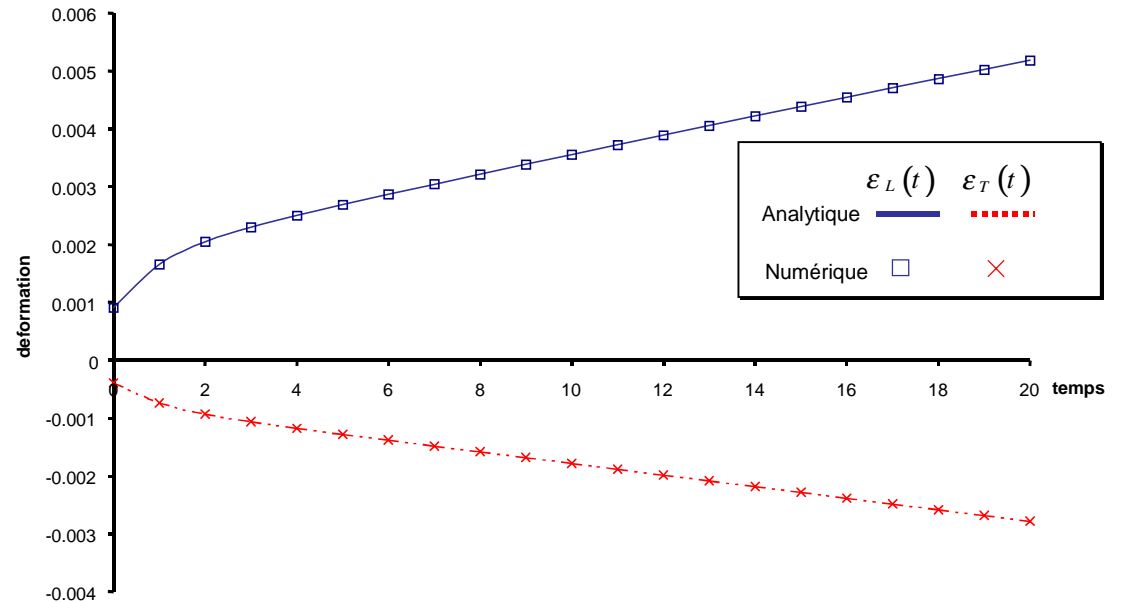
- Assouplissement des ressorts et contrainte linéaire

Erreur <0.01%




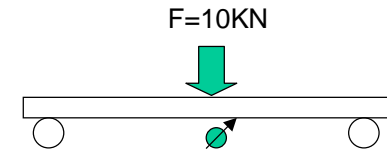
- Rigidification des ressorts

Erreur <0.02%

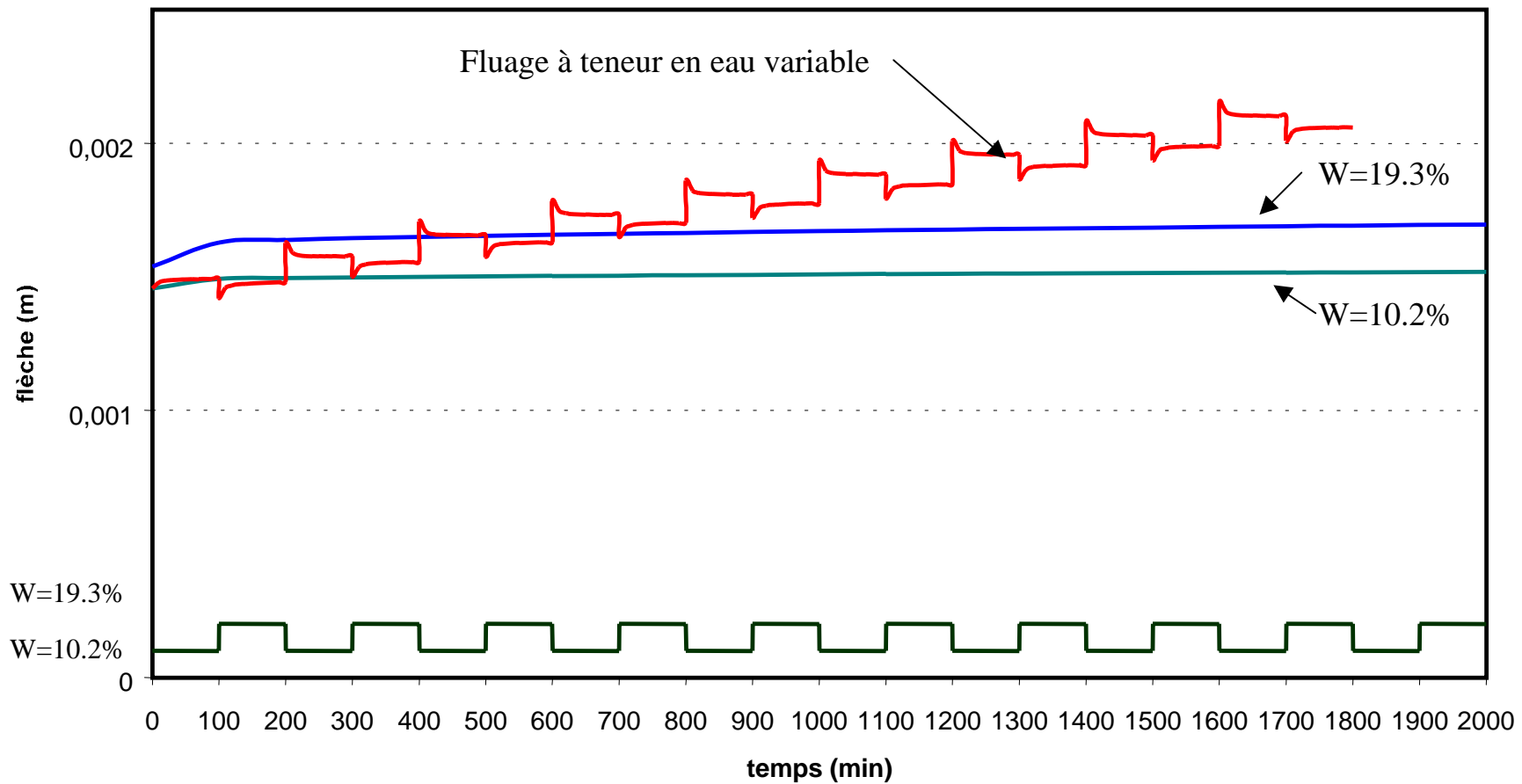


# Application : fluage en flexion 3 point sur une poutre en bois

- Hypothèse : petite dimension  $(1\text{mm} \times 1\text{mm} \times 200\text{mm})$   Humidité homogène dans la poutre



Calcul de la fêche



# Conclusion

- Importance de l'humidité et de la température sur le modèle



Nécessité d'un modèle de diffusion hydrique et thermique

- Rigidification du modèle viscoélastique  $\Rightarrow$  Déformation mécanosorptive du bois

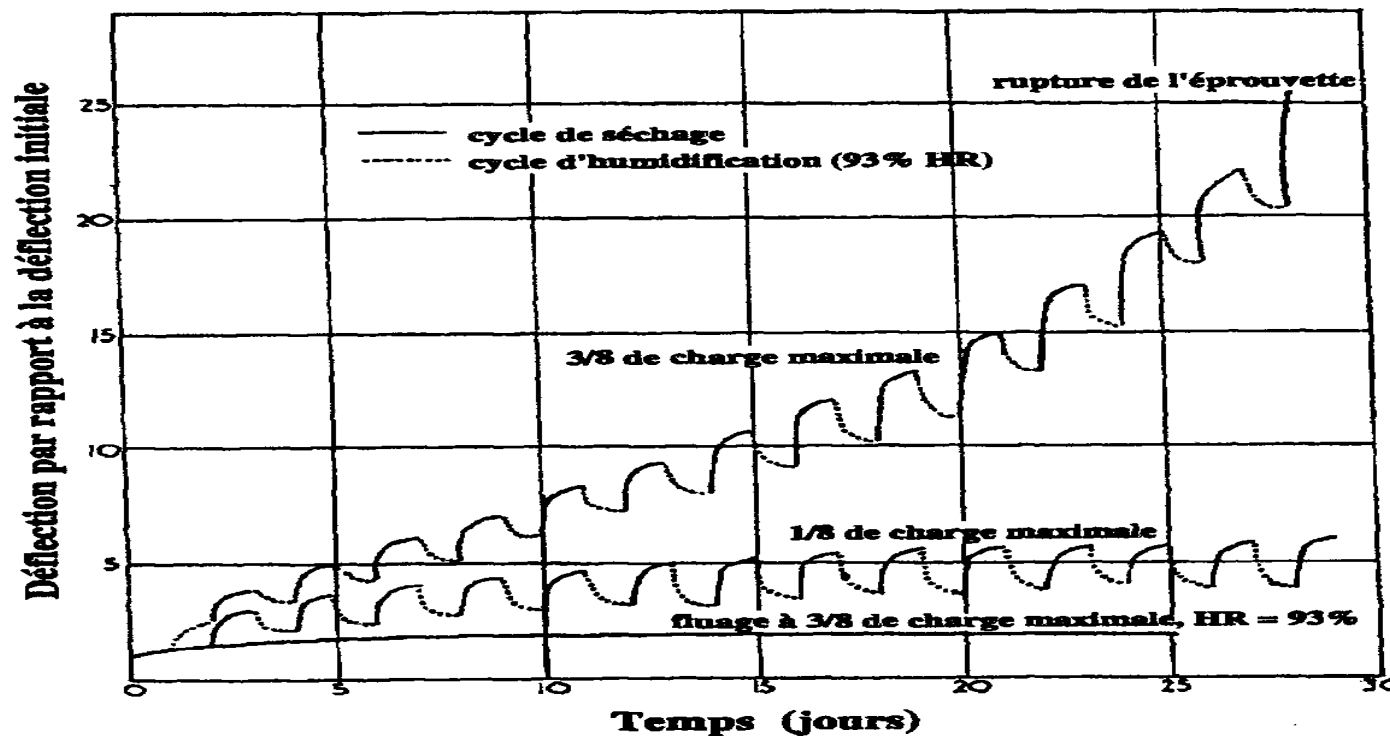


Figure. courbe expérimentale du fluage du bois dans un environnement variable [HEARMON]